



中山大學  
SUN YAT-SEN UNIVERSITY

# 数值计算 期中大作业

专业：通信工程

学号：22309080

姓名：梁倍铭

时间：2023.1.18

# 目录

<b>1</b>	<b>前言</b>	<b>2</b>
<b>2</b>	<b>系统模型</b>	<b>2</b>
<b>3</b>	<b>算法实现</b>	<b>3</b>
3.1	MMSE-SQRD 算法的仿真实现 . . . . .	3
3.2	MMSE-SQRD-PSA 算法的仿真实现 . . . . .	4
3.3	基于信道矩阵 SVD 分解的发送与检测的仿真实现 . . . . .	5
3.4	基于信道矩阵 GMD 分解的发送与检测 . . . . .	6
<b>4</b>	<b>对各项算法的测试</b>	<b>7</b>
4.1	MMSE-SQRD 和 MMSE-SQRD-PSA 与期中各个算法对比 . . . . .	7
4.2	SVD、GMD 与其他算法对比 . . . . .	9
4.2.1	对比 SVD 对 V-blast 和 ZF 算法的影响 . . . . .	9
4.2.2	对比 GMD 对 QRD 算法的影响 . . . . .	10
<b>5</b>	<b>源代码附件说明</b>	<b>10</b>
5.1	测试说明 . . . . .	10
5.2	源码说明 . . . . .	10

## 1 前言

在期中报告中已完成了对《[1] Efficient Algorithm for Detecting Layered Space Time Codes》和《[2] MMSE Extension of V-BLAST based on Sorted QR Decomposition》这两篇论文中 V-BLAST、QRD、SQRD、ZF、MMSE、MMSE-QRD 和 MMSE-SQRD 算法的仿真复现。

在期末报告中，将完成对 MMSE-QRD-PSA、基于信道矩阵 SVD 分解的发送与检测、基于信道矩阵 GMD 分解的发送与检测的仿真实现，并通过计算误码率和误帧率来比较他们的性能差异。

## 2 系统模型

系统模型为 MIMO 系统，在期中报告中已经给出。

MIMO 全称是 multiple-in multiple-out，多输入多输出。示意图如图 1，具有  $N_T$  根发射天线和  $N_R$  根接收天线，且  $N_R > N_T$ ，数据在  $N_T$  个等长的数据子流（称为层）中进行解复用。这些子流被映射成 M-PSK 或 M-QAM 符号，或者，可以使用前向纠错（FEC）码在映射之前对数据子流进行编码。

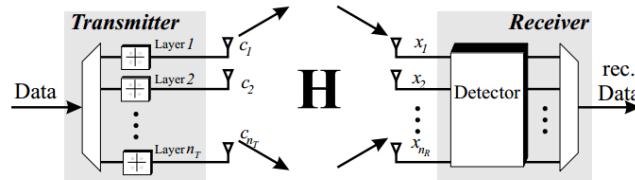


图 1: MIMO 系统示意图

用  $c = (c_1 \ c_2 \ \dots \ c_{nT})^T$  来表示发射的信号，用  $x = (x_1 \ x_2 \ \dots \ x_{nR})$  来表示接收到的信号。信道  $H$  的大小为  $N_T * N_R$ ，信道  $H$  可表示为

$$H = \begin{pmatrix} h_{1,1} & \dots & h_{1,nT} \\ \dots & \dots & \dots \\ h_{nR,1} & \dots & h_{nR,nT} \end{pmatrix}$$

由于两篇论文所使用的符号不尽相同，这里采用第一篇论文的符号进行统一描述，用  $v$  来表示接收天线中的高斯白噪声， $v = (v_1 \ v_2 \ \dots \ v_{NR})^T$ ，因此，整个系统可以用  $x = Hc + v$  来描述。

其中我们假设假设所有天线每维的方差  $N_0=2$  的不相关高斯白噪声。传

输的符号被归一化，使得每比特的平均接收能量为一。我们假设静态平坦衰落环境，即信道矩阵  $H$  在帧内保持不变，并且在帧与帧之间独立变化。假定不同的衰落增益是不相关的并且接收机完全了解这些增益。

### 3 算法实现

#### 3.1 MMSE-SQRD 算法的仿真实现

MMSE 算法通过最小化实际传输符号与线性检测器输出之间的均方误差 (MSE)，并得出滤波器矩阵：

$$G_{MMSE} = (H^H H + \sigma^2 I_{n_T})^{-1} H^H$$

进而得到检测信号：

$$\hat{c}_{MMSE} = H^+ x$$

结合 QR 算法，为了获得最优的检测顺序，可以通过在每个正交化步骤之前对信道矩阵的列进行重新排序，来提高检测性能。伪代码如图 2。

---

```

(1)  $\underline{\mathbf{R}} = \mathbf{0}, \underline{\mathbf{Q}} = \underline{\mathbf{H}}, \mathbf{p} = (1, \dots, n_T)$ 
(2) for  $i = 1, \dots, n_T$ 
(3)    $\mathbf{norm}_i = \|\underline{\mathbf{q}}_i\|^2$ 
(4) end
(5) for  $i = 1, \dots, n_T$ 
(6)    $k_i = \arg \min_{\ell=i, \dots, n_T} \mathbf{norm}_\ell$ 
(7)   exchange columns  $i$  and  $k_i$  in  $\underline{\mathbf{R}}, \mathbf{p}, \mathbf{norm}$  and in the first
       $n_R + i - 1$  rows of  $\underline{\mathbf{Q}}$ 
(8)    $r_{i,i} = \sqrt{\mathbf{norm}_i}$ 
(9)    $\underline{\mathbf{q}}_i := \underline{\mathbf{q}}_i / r_{i,i}$ 
(10)  for  $k = i + 1, \dots, n_T$ 
(11)     $r_{i,k} = \underline{\mathbf{q}}_i^H \cdot \underline{\mathbf{q}}_k$ 
(12)     $\underline{\mathbf{q}}_k := \underline{\mathbf{q}}_k - r_{i,k} \cdot \underline{\mathbf{q}}_i$ 
(13)     $\mathbf{norm}_k := \mathbf{norm}_k - r_{i,k}^2$ 
(14)  end
(15) end

```

图 2: MMSE-SQRD 伪代码

matlab 代码如图 3。

```

function C = mmse_sqrd_fun(H,x,n)
%MMSE_SQRD_FUN 该函数实现MMSE-QRD算法
% 输入参数H: 信道矩阵
% 输入参数x: 接收到的信号
% 输入参数n: 噪声的标准差
% 输出参数C: 解调出来的信号矩阵
[~,col]=size(H);
I=n*eye(col);
H=[H;I];%对信道矩阵进行扩展
x=[x;zeros(col,1)];%对接收的信号进行处理
[row,col]=size(H);
c = zeros(col, 1);
C = zeros(col, 1);
q = H;
r = zeros(col, col);
s = 1:col; % 用于记录排序的索引

% 进行QR 分解
for i2 = 1:col
    min_norm = norm(q(:, i2)); % 初始化最小范数
    k = i2;
    % 寻找最小范数列
    for j2 = i2:col
        if min_norm > norm(q(:, j2))
            min_norm = norm(q(:, j2));
            k = j2;
        end
    end
    % 交换列, 更新 QR 分解矩阵
    q(:, [i2, k]) = q(:, [k, i2]);
    r(:, [i2, k]) = r(:, [k, i2]);
    s([i2, k]) = s([k, i2]);

    r(i2, i2) = norm(q(:, i2));
    q(:, i2) = q(:, i2) / r(i2, i2);

    % 更新 R 矩阵的剩余部分
    for l = i2+1:col
        r(i2, l) = q(:, i2)' * q(:, l);
        q(:, l) = q(:, l) - r(i2, l) * q(:, i2);
    end
end
y = q' * x; % 计算中间变量 y
d = zeros(row, 1);
z = zeros(row, 1);
% 反向解调
for i = col:-1:1
    for j = i+1:col
        d(i) = d(i) + r(i, j) * c(j); % 计算干扰项
    end
    z(i) = y(i) - d(i); % 消除干扰项
    k = z(i) / r(i, i);%得到解调出来的原始信号
    if k < 0.5%对原始信号进行判决
        c(i) = 0;
    else
        c(i) = 1;
    end
end
% 根据排序结果将解调后的结果排序并返回
for i4 = 1:length(s)
    C(s(i4)) = c(i4);
end
end

```

图 3: MMSE-SQRD 伪代码

### 3.2 MMSE-SQRD-PSA 算法的仿真实现

由于协方差误差矩阵  $\Phi$  可以写成  $\Phi = Q_2 Q_2^H$ , 由于  $Q_2$  是上三角的,  $\Phi$  的第  $k$  个对角元素与  $Q_2$  第  $k$  行的范数成正比, 在最优排序算法中,  $Q_2$  的最后一行必须具有所有行的最小范数。

若满足该条件, 则  $Q_2$  左上  $n_T - 1 \times n_T - 1$  子矩阵的最后一行必须具有该子矩阵所有行的最小范数, 如果排序正确, 则此条件由所有左上子矩阵完成。

若矩阵  $Q_2$  不满足该条件。那么范数最小的行和最后一行需要交换, 通过将  $Q_2$  的置换版本与适当的酉  $n_T \times n_T$  Householder 反射矩阵 ( $\Phi$ ) 相乘得到分块三角矩阵。最后,  $Q_1$  更新为  $Q_1 \Phi$ , 在 PSA 结束时反转  $Q_2$ 。

然后针对修改后的矩阵  $Q_2$  的左上  $n_T - 1 \times n_T - 1$  子矩阵和新矩阵  $Q_1$  的前  $n_T - 1$  列迭代这些排序和反射步骤, 从而产生 QR 分解最优排序的信道矩阵  $H$ 。

伪代码如图 4, 在 MMSE-SQRD 的基础上增加的 matlab 代码如图 5

```

(1)  $k_{\min} = n_T$ 
(2) for  $i = n_T, \dots, 2$ 
(3)   for  $\ell = 1, \dots, i$ 
(4)      $\text{error}_\ell = \|\mathbf{Q}_2(\ell, 1:i)\|^2$ 
(5)   end
(6)    $k_i = \arg \min_{\ell=1, \dots, i} \text{error}_\ell$ 
(7)    $k_{\min} = \min(k_{\min}, k_i)$ 
(8)   if  $k_i < i$ 
(9)     exchange rows  $i$  and  $k_i$  in  $\mathbf{Q}_2$  and col.  $i$  and  $k_i$  in  $\mathbf{p}$ 
(10)  end
(11)  if  $k_{\min} < i$ 
(12)    calculate Householder reflector  $\Theta$  such that elements
      of  $\mathbf{Q}_2(i, k_{\min} : i - 1)$  become zero
(13)     $\mathbf{Q}_2(1:i, k_{\min} : i) := \mathbf{Q}_2(1:i, k_{\min} : i)\Theta$ 
(14)     $\mathbf{Q}_1(:, k_{\min} : i) := \mathbf{Q}_1(:, k_{\min} : i)\Theta$ 
(15)  end
(16) end
(17)  $\mathbf{R} = 1/\sigma_n \mathbf{Q}_2^{-1}$ 

```

图 4: MMSE-SQRD-PSA 伪代码

```

%psa部分
kmin=col;
p=1:col;
for i=col:-1:2
    error=zeros(i,1);
    for l=1:i
        error(l)=vecnorm(Q2(l,1:i),2,2)^2;
    end
    [~,ki]=min(error);
    kmin=min(kmin,ki);
    if ki<i
        Q2([i ki],:)=Q2([ki i],:);
        p([i ki])=p([ki i]);
    end
    if kmin<i
        a=Q2(i,kmin:i);
        e=[zeros(1,length(a)-1),1];
        u=(a-norm(a)*e)/norm(a-norm(a)*e);
        w=(u*a')/(a*u');
        re=eye(length(a))-(1+w)*(u')*u;
        Q2(1:i,kmin:i)=Q2(1:i,kmin:i)*re;
        Q1(:,kmin:i)=Q1(:,kmin:i)*re;
    end
end
R=n*inv(Q2);
y = q' * x; % 计算中间变量 y
d = zeros(row, 1);
z = zeros(row, 1);

```

图 5: MMSE-SQRD-PSA matlab 代码

### 3.3 基于信道矩阵 SVD 分解的发送与检测的仿真实现

奇异值分解 (Singular Value Decomposition, 以下简称 SVD) 是一种广泛使用的算法, SVD 并不要求要分解的矩阵为方阵, 他将矩阵 (A) 分解为正交矩阵 (U), 对角矩阵 ( $\Sigma$ ) 和正交矩阵 (V)。即  $A = U\Sigma V$ 。

在 MIMO 系统中, 可以对信道矩阵进行 SVD 分解

$$H = U\Sigma V$$

系统函数变成

$$x = U\Sigma Vc - v$$

令

$$y = U'x$$

$$s = Vc$$

则

$$y = \Sigma s + U'v$$

所以在接收端和发射端分别乘一个矩阵，目的是为了得到一个干净的传输矩阵，也就是对角线矩阵。

在进行仿真时，我们只需对前面的代码稍作修改，便可实现基于信道矩阵 SVD 分解的发送与检测。假设将信号矩阵  $H$  分解成  $U\Sigma V$ ，即  $H = U\Sigma V$ ，在发送  $c$  时，左乘  $V$ ，如图 6，在接收端，信道矩阵  $H$  变成了  $\Sigma$ ，将接收到的  $x$  左乘  $U$  的逆，如图 7

```
bit_stream_tx=randi([0,1],N_T,1);%发送的比特流  
c=bit_stream_tx;  
[~,~,V_]=svd(H);  
bit_stream_tx=randi([0,1],N_T,1);%发送的比特流  
c=V_*bit_stream_tx;%左乘V矩阵
```

图 6: SVD 发射端对比 matlab 代码

```
[U,S,~]=svd(H);%SVD分解  
x=inv(U)*x;%左乘U的逆  
H=S;%信号矩阵变为对角阵
```

图 7: SVD 接收端增加的 matlab 代码

### 3.4 基于信道矩阵 GMD 分解的发送与检测

GMD(几何均值分解) 的思想和 SVD 类似，都是在接收和发射端同时对信号进行处理。处理过程如下：

将信道矩阵进行 GMD 分解：

$$H = QRP'$$

对发送信号进行处理：

$$x = Ps$$

系统模型变为:

$$y = QRs + z$$

对其进行解调即可得到发射信号  $s$ ，发射端代码如图 8，接收端代码如图 9.

```
bit_stream_tx=randi([0,1],N_T,1);%发送的比特流
c=bit_stream_tx;

[U_,S_,V_]=svd(H);
[~,~,P]=gmd(U_,S_,V_);
bit_stream_tx=randi([0,1],N_T,1);%发送的比特流
c=inv(P_)*bit_stream_tx;%左乘V矩阵
```

图 8: GMD 发射端对比 matlab 代码

```
function c = qr_gmd_fun(H,x)
%QR_FUN 此函数是对基于信道矩阵GMD分解的接收端的仿真实现
% 输入参数H: 信道矩阵
% 输入参数x: 接收到的信号
% 输出参数c: 解调出来的信号矩阵
[U,S,V]=svd(H);
[Q,R,~]=gmd(U,S,V);
[~,col]=size(H);%求信道矩阵H的列数
c=zeros(col,1);
y=Q'*x;%对接收到的信号进行处理
d=zeros(col,1);
z=zeros(col,1);
for i=col:-1:1%从最后一层开始检测
    for j=i+1:col%通过迭代获得每一层的干扰项
        d(i,1) = d(i,1) + R(i, j) * c(j,1);
    end
    z(i,1) = y(i,1) - d(i,1);%减去干扰项
    tmp = z(i,1) / R(i, i);%获得原始解调出来的信号
    if tmp < 0.5%对信号进行判决
        c(i,1) = 0;
    else
        c(i,1) = 1;
    end
end
end
```

图 9: GMD 接收端的 matlab 代码

## 4 对各项算法的测试

### 4.1 MMSE-SQRD 和 MMSE-SQRD-PSA 与期中各个算法对比

假设接收天线为 8，发射天线为 6，测试 100000 次，并统计各个算法的无码率，测试结果如图 10.

假设接收天线为 12，发射天线为 8，测试 100000 次，并统计各个算法的误码率，测试结果如图 11.



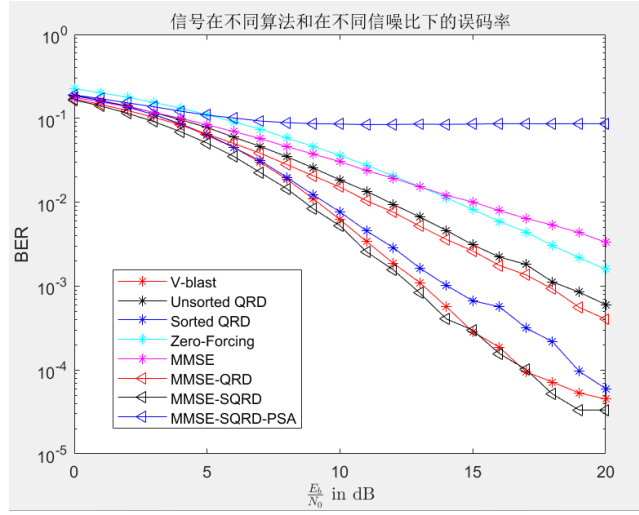


图 10: 测试结果 1

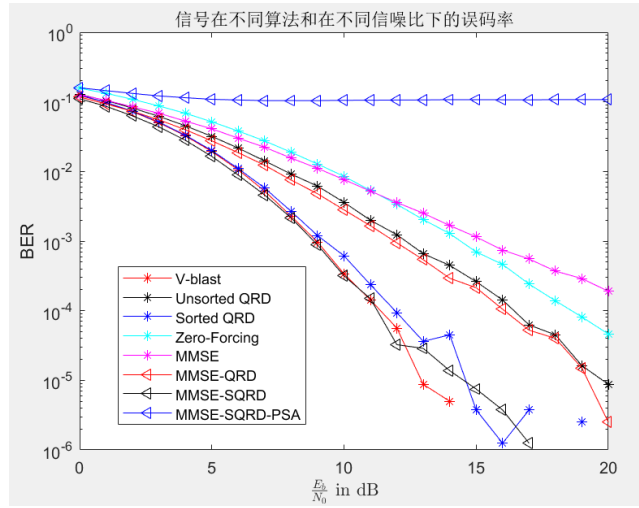


图 11: 测试结果 2

从测试结果可以看出，MMSE-SQRD 算法和 V-BLAST 算法的误码率最低，然后到 SQRD 算法，紧接着是 MMSE-QRD 和 QRD 算法，最后是 MMSE 和 ZF 算法，结合算法复杂度，不考虑 MMSE-SQRD-PSA 的情况下，MMSE-SQRD 的综合性能最好。图中观察可知 MMSE-SQRD-PSA 的算法误码率明显偏高，单独测试 MMSE-SQRD-PSA 算法，测试结果如图 12.

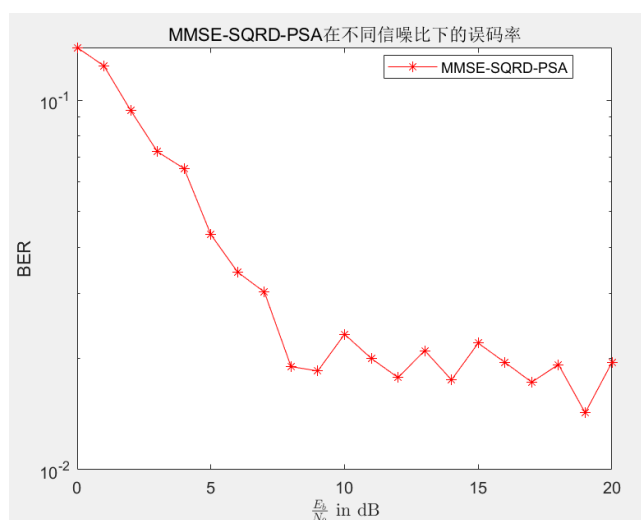


图 12: 测试结果 3

从测试结果来看，MMSE-SQRD-PSA 算法误码率在 0.01 和 0.1 之间，说明还是存在问题，但是 debug 了好久，仍然没有发现出错的地方，因此此处没有完全完成。

## 4.2 SVD、GMD 与其他算法对比

### 4.2.1 对比 SVD 对 V-blast 和 ZF 算法的影响

假设接收天线为 8，发射天线为 6，测试 100000 次，并统计各个算法的无码率，测试结果如图 13.

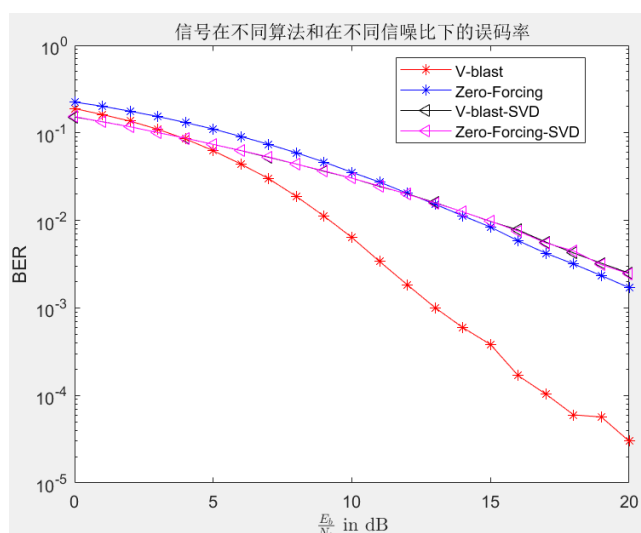


图 13: 测试结果 4

从图中可以看出，进行 SVD 分解后，可能会导致误码率偏高，但是由于信号矩阵变为了对角阵，大大简化了运算

### 4.2.2 对比 GMD 对 QRD 算法的影响

假设接收天线为 8，发射天线为 6，测试 1000000 次，并统计各个算法的无码率，测试结果如图 14.

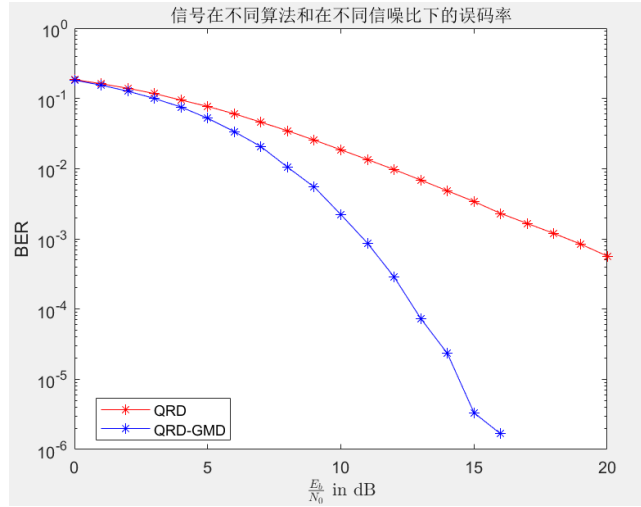


图 14: 测试结果 5

从图中可以看出，进行 GMD 分解后，大大降低了 QR 分解的误码率，提高了系统性能。

## 5 源代码附件说明

### 5.1 测试说明

直接运行 main.m 文件即可，为了测试方便，已经将测试次数改小。

### 5.2 源码说明

1. bertest\* 文件，用来生成随机 H 和 x 矩阵。
2. compare\* 文件，用来调用测试文件和算法文件来进行测试并绘图
3. 以算法命名的文件，每个文件代表一个算法。
4. main.m 文件，主测试文件，直接运行即可测试。